

669.14.018.23 : -669.046.558

S 189

## (189) 穴あけ加工性に対する S と脱酸法の影響

(脱酸調整快削鋼の研究一IV)

70465

富士製鉄室蘭製鉄所 田坂 興 赤沢正久 ○黒岩和也

### I 緒 言

s 含有量を若干高めることによつて、脱酸調整快削鋼の穴あけ加工性は大幅に向上するが<sup>1)</sup>、この s の効果は脱酸法や穴あけ加工方向によつて異なることが予測される。本研究は、脱酸調整快削鋼の穴あけ加工性に対する s の影響を通常材の場合と比較検討し、さらに穴あけ加工方向の影響についても若干の検討をおこなつたものである。

### II 試 験 方 法

供試鋼は表 1 に示す機械構造用炭素鋼 S45C 相当鋼であり、いずれも LD 転炉で溶製した。試験片は所定の熱処理をおこなつた後、表面 2.5 mm 切削して作製した。熱処理は焼入焼もどし (870°C × 90 min - 空冷, 850°C × 90 min - 油冷, 550°C × 90 min - 水冷), 焼準 (870°C × 90 min - 空冷) の二種類である。試験は無段变速機を内蔵した被削性試験用ポール盤で、材質 SKH9, 直径 10 mm, ねじれ角 30° の転造ドリルを使用しておこなつた。なお送りは 0.33 mm/rev, 穴深さは 30 mm, 切削油は J I S K 2201 の 1 号 (#60 スピンドル油) である。

### III 試験結果

図 1 に焼入焼もどし状態のドリル寿命曲線を示す。脱酸調整快削鋼、通常材共に S 量が若干高くなるとドリル寿命は大幅に向上するが、その程度は快削鋼の方が大きい。脱酸調整快削鋼は通常材より若干 S 量が高く(表 1), 硫化物は通常材ほど細く延びていない。この硫化物の形状の相違が脱酸調整快削鋼と通常材で S の効果が異なる一因と思われる。なお、このような脱酸法による S の効果の相違は、切削抵抗でも同様であり、脱酸調整快削鋼の方が通常材より S による抵抗の低下が大きい。図 2 は通常材を圧延方向と直角(C 方向) および平行(I 方向) に穴あけした場合の V<sub>L1000</sub> (切削総長さ 1,000 mm となる切削速度) と S % の関係を示している。焼準状態では I 方向, C 方向の寿命はほぼ同等であるが、焼入焼もどし状態の場合は、S 量によらず I 方向に穴あけした場合のドリル寿命が C 方向よりも劣っている。しかし、S が高くなると共にドリル寿命が向上する点は I 方向に穴あけしてもかわらない。

**IV 総括** S の穴あけ加工性に対する効果は脱酸調整快削鋼の方が大きい。また S の効果は加工方向によらない。

1) 田坂, 赤沢, 黒岩: 鉄と鋼 55(1969) 11 S 626

表 1 供 試 鋼

| 鋼種  | 試料 | 脱酸剤     | 化 学 组 成 (%) |      |      |       |       |        |       | 試片表面の硬さ(H <sub>RC</sub> ) |     |
|-----|----|---------|-------------|------|------|-------|-------|--------|-------|---------------------------|-----|
|     |    |         | C           | Si   | Mn   | P     | S     | Si, Al | O     | 焼入焼もどし                    | 焼準  |
| 通常材 | A  | FeSi+Al | 0.47        | 0.23 | 0.83 | 0.014 | 0.017 | 0.024  | 0.003 | 249                       | 199 |
|     | B  |         | 0.46        | 0.26 | 0.84 | 0.015 | 0.033 | 0.023  | 0.003 | 246                       | 195 |
|     | C  |         | 0.47        | 0.26 | 0.82 | 0.017 | 0.051 | 0.022  | 0.003 | 247                       | 196 |
| 快削鋼 | D  | CaSi    | 0.45        | 0.22 | 0.85 | 0.016 | 0.013 | 0.005  | 0.008 | 242                       | 198 |
|     | E  |         | 0.44        | 0.29 | 0.77 | 0.014 | 0.026 | 0.006  | 0.012 | 248                       | 193 |
|     | F  |         | 0.45        | 0.29 | 0.79 | 0.017 | 0.046 | 0.004  | 0.008 | 248                       | 194 |

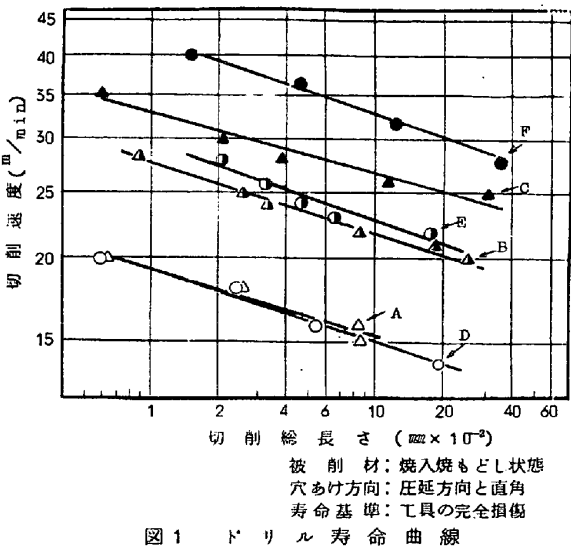


図 1 ドリル寿命曲線

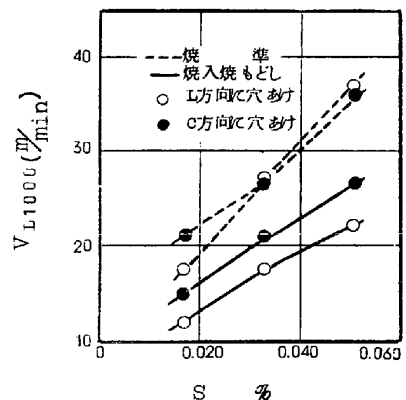


図 2 V<sub>L1000</sub> と S % の関係